

623.4.022

1, . . . 2, . . . 3

1
2
3

2015

()

[1].

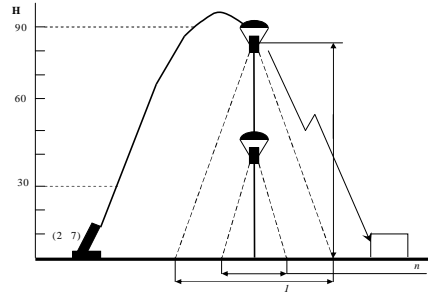
[2].

-10

[3].

[4]

« -1»,
 « » (.),
 (, ,)
 ()
 « - » () [4].



. I.

I

/			''
()			
1.			2
2.	0 30-35		
3.	30-35		
4.	30 80-90		
5.	80-90		
6.	80 100-110		
()			
7.	110 90		
8.	90		50

[4]

« » (.) « » [7].

203-
 2 7 « »;

3 5 .

.1.

()

« », = 90 .

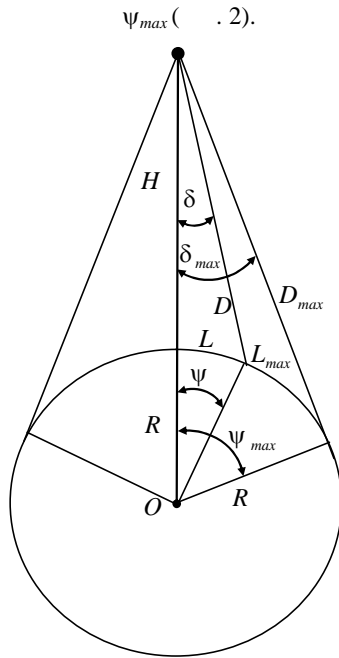
. 1.

«4/3''» - 18,0×13,5 , «1/1,8''» -
 7,2×5,3 ;
 f = 2-5 ; « » ,

—
—

$$S = \pi \cdot H_p^2 \cdot \text{tg}^2 \gamma. \quad (5)$$

$$L = L \quad (6)$$



Ψ_{max} (. 2).

[9].

1,5,

. 2.

[8]

$$\Psi_{max} = \arccos\left(\frac{R}{R + H}\right) \quad (1)$$

«4/3''» «1/1,8''»

2 3.

$$L_{max} = \max \cdot R = (0,5\pi - \delta_{max}) \cdot R, \quad (2)$$

R - ; H -

[7]

$$R = \frac{H}{f r_e} \quad (7)$$

, r_e

1 .

$1/r_e$

$$\Psi = 2 \left[\arcsin\left(\frac{R + H}{R} \cdot \sin\frac{\delta}{2}\right) - \frac{\delta}{2} \right], \quad (3)$$

, $l_e = 1/r_e$.

$$L = \Psi \cdot R = (0,5\pi - \delta) \cdot R. \quad (4)$$

«4/3''»

(1-7),

4-6

7-9

«1/1,8''».

R -

R -

2

«4/3'»

	4:3 ()	()	()	()
3	1500 2000	1000 1333	9	13,5
4	1700 2350	1134 1566	7,94	11,5
5	1900 2600	1266 1733	7,1	10,4
8	2450 3250	1633 2167	5,51	8,3

3

«1/1,8'»

	4:3 ()	()	()	()
3	1500 2000	1000 1333	3,6	5,4
4	1700 2350	1134 1566	3,1	4,6
5	1900 2600	1266 1733	2,8	4,1
8	2450 3250	1633 2167	2,2	3,3

4

«4/3'»

H,	L _{max} ,	f= 2		f= 5	
		,	, ²	,	, ²
90	1065	102,5×68,84	7056,1	33,52×24,76	829,96
80	1004	91,02×61,17	5567,7	29,79×22,01	655,86
70	940	79,56×53,50	4256,5	26,06×19,26	501,92
60	871	68,12×45,83	3122	22,34×16,51	368,83
50	795	56,71×38,18	2165,2	18,61×13,75	255,89
40	712	45,32×30,53	1383,6	14,89×11,00	163,79
30	617	33,96×22,88	777	11,17×8,25	92,153
20	504	22,62×15,25	345	7,44×5,5	40,92
10	356	11,30×7,621	86,1	3,721×2,75	10,233
5	252	5,64×3,81	21,5	1,86×1,375	2,56
1	113	1,13×0,761	0,86	0,372×0,275	0,102

5

«4/3'»

f= 2

H,	3		4		5		8	
	R ,	R ,	R ,	R ,	R ,	R ,	R ,	R ,
90	40,5	68,7	35,7	51,75	31,95	46,8	24,8	37,35
80	36	54	31,76	46	28,4	41,6	22,04	33,2
70	31,5	47,25	27,79	40,25	24,85	36,4	19,285	29,05
60	27	40,5	23,82	34,5	21,3	31,2	16,53	24,9
50	22,5	33,75	19,85	28,75	17,75	26	13,775	20,75
40	18	27	15,88	23	14,2	20,8	11,02	16,6
30	13,5	20,25	11,91	17,25	10,65	15,6	8,265	12,45
20	9	13,5	7,94	11,5	7,1	10,4	5,51	8,3
10	4,5	6,75	3,97	5,75	3,55	5,2	2,755	4,15
5	2,25	3,375	1,985	2,875	1,775	2,6	1,377	2,075
1	0,45	0,675	0,397	0,575	0,355	0,52	0,275	0,415

6

«4/3'» $f=5$

H,	3		4		5		8	
	R ,	R ,	R ,	R ,	R ,	R ,	R ,	R ,
90	16,2	24,3	14,3	20,7	12,78	18,72	9,92	14,94
80	14,4	21,6	12,7	18,4	11,36	16,64	8,82	13,28
70	12,6	18,9	11,12	16,1	9,94	14,56	7,714	11,62
60	10,8	16,2	9,53	13,8	8,52	12,48	6,612	9,96
50	9	13,5	7,94	11,5	7,1	10,4	5,51	8,3
40	7,2	10,8	6,352	9,2	5,68	8,32	4,408	6,64
30	5,4	8,1	4,764	6,9	4,26	6,24	3,306	4,98
20	3,6	5,4	3,176	4,6	2,84	4,16	2,204	3,32
10	1,8	2,7	1,588	2,3	1,42	2,08	1,102	1,66
5	0,9	1,35	0,794	1,15	0,71	1,04	0,551	0,83
1	0,18	0,27	0,159	0,23	0,142	0,208	0,11	0,166

7

«1/1,8'»

H,	L_{max} ,	$f=2$		$f=5$	
		, ²	, ²	, ²	, ²
90	1065	33,52×24,29	814,2	13,03×9,568	124,67
80	1004	29,79×21,59	643,17	11,58×8,504	98,48
70	940	26,06×18,89	492,27	10,13×7,441	75,38
60	871	22,34×16,19	361,68	8,69×6,378	55,42
50	795	18,61×13,49	251,05	7,24×5,315	38,48
40	712	14,89×10,79	151,43	5,79×4,252	24,619
30	617	11,17×8,1	90,477	4,343×3,189	13,85
20	504	7,44×5,4	40,18	2,86×2,126	6,08
1	356	3,721×2,7	10,05	1,448×1,063	1,54
5	252	1,86×1,349	2,509	0,724×0,531	0,384
1	113	0,372×0,27	0,1	0,144×0,106	0,015

8

«1/1,8'» $f=2$

H,	3		4		5		8	
	R ,	R ,	R ,	R ,	R ,	R ,	R ,	R ,
90	16,2	24,3	13,95	20,7	12,6	18,45	9,9	14,85
80	14,4	21,6	12,4	18,4	11,2	16,4	8,8	13,2
70	12,6	18,9	10,85	16,1	9,8	14,35	7,7	11,55
60	10,8	16,2	9,3	13,8	8,4	12,3	6,6	9,9
50	9	13,5	7,75	11,5	7	10,25	5,5	8,25
40	7,2	10,8	6,2	9,2	5,6	8,2	4,4	6,6
30	5,4	8,1	4,65	6,9	4,2	6,15	3,3	4,95
20	3,6	5,4	3,1	4,6	2,8	4,1	2,2	3,3
10	1,8	2,7	1,55	2,3	1,4	2,05	1,1	1,65
5	0,9	1,35	0,775	1,15	0,7	1,025	0,55	0,825
1	0,18	0,27	0,155	0,23	0,14	0,205	0,11	0,165

9

«1/1,8'» $f=5$

H,	3		4		5		8	
	R ,	R ,	R ,	R ,	R ,	R ,	R ,	R ,
90	6,48	9,72	5,58	8,28	5,04	7,56	3,96	5,94
80	5,76	8,64	4,96	7,36	4,48	6,72	3,52	5,28
70	5,04	7,56	4,34	6,44	3,92	5,88	3,08	4,62
60	4,32	6,48	3,72	5,52	3,36	5,04	2,64	3,96
50	3,6	5,4	3,1	4,6	2,8	4,2	2,2	3,3
40	2,88	4,32	2,48	3,68	2,24	3,36	1,76	2,64
30	2,16	3,24	1,86	2,76	1,68	2,52	1,32	1,98
20	1,44	2,16	1,24	1,84	1,12	1,68	0,88	1,32
10	0,72	1,08	0,62	0,92	0,56	0,84	0,44	0,66
5	0,36	0,54	0,31	0,46	0,28	0,42	0,22	0,33
1	0,072	0,108	0,062	0,092	0,056	0,084	0,044	0,066

10 .

$f = 5$

10

5

« »

(10).

1. 2008: . - . : , 2009. - 100 .
2. . . . /
3. // . - 2005. - . 60. - . 102-106.
4. -10: - // [. . . .] . - . : , 1981. - 341 .
5. 2007. - . 6 (4). - . 172-188.
6. [. . . .]: www.luch.kiev.ua.
7. . - M.: / , 1991. - 224 .
8. / ; . A. M. . - . : , 2003. - . 8.
9. // . - 2000. - . 24. - . 26-80.
10. / , 2002. - . 208-212.

2.12.2008

AN ANALYSIS OF POSSIBILITIES OF APPLICATION OF ROCKET-ARTILLERY PSEUDOSPACE COMPLEXES IS DURING THE CONDUCT OF ARTILLERY RECONNAISSANCE

O. A. Mashkov, I. V. Puleko, V. O. Chumakevich

The methods of the use of the artillery systems for the launch of the pseudosatellite systems of surveillance, requirements and properties of their equipment are examined.

Keywords: *artillery reconnaissance, pseudosatellite system, surveillance zone, ability to distinguish, photoequipment.*